

有限要素法による不飽和土の圧密变形解析

秋田大学 学生員 甲葉洋

1. はじめに。 多孔質材料の圧密は、例えば、重量構造物による粘土地盤の地下、地下水の汲上げによる地盤地下水、アースフィルダムなどの時間的挙動を予測するために土質力学の分野で重要な問題の一つである。圧密の問題は、Terzaghi の一次圧密理論が発表されて以来多くの人々により研究されてきたが、三次元圧密理論まで発展されたものは、大別して熱流導通性構造方程式の Terzaghi-Pendleton 式と Biot により 1941 年に確立された多元連立偏微分方程式の Biot 式のものである。後者は同様水と固相の相互作用により明確に、同時に知ることができるのを多孔質材料の変形特性解析に重要と見られる。しかし、この後 Biot は不可逆現象の熱力学的立場より多孔質弹性性材料の圧密理論を一般化している。また、多孔質材料の圧密に関する数多くの他の論文のうちで不飽和材料については、文献 1) でのみ饱和材料と区別して取り扱っているかそれ以後は、不飽和材料における流体の影響は圧縮固体の概念に含められている。ところで、有限要素法による土の圧密問題が解かれように行なつたのは比較的早く、最初の変分原理の公式化と有限要素法による展開は Sandhu, Wilson, 横尾・山縣・長岡・原・川本等により報告されている。これらは飽和多孔質弹性性材料の圧密に対するものである。

本報告においては、Biot により表わされた圧密理論の支配方程式が Biot による連成弹性論の方程式 2) の上で類似していることに注目し、不飽和土の圧密に対する有限要素法のための定式化を連成弹性の変分方程式で展開し、必要とする解式を導いた。

2. 支配方程式。 流体と空気を含む均質多孔質固体を考える。いま慣性力を無視すれば、この材料に対する平衡方程式は次のようにならわれる。

$$\sigma_{ij} + p_i F_j = 0 \quad (1)$$

ここに、 σ_{ij} ; 砂粒テンソル、 p_i ; 材料の質量密度、 F_j ; 単位質量当たりの物体力の成分、これらに、 σ_{ij} , p_i , F_j は土質力学での全応力を意味する。固体の変形成分をもって表示すると固体のひずみ成分为。

$$e_{ij} = \frac{1}{2} (u_{ij} + u_{ji}) \quad (2)$$

である。変形理論における応力一ひずみ関係は、

$$\sigma_{ij} + \alpha_{ij} P = C_{ijkl} e_{kl} \quad (3)$$

ここに、 P ; 滲水圧、 α_{ij} ; 二次の透水テンソル、 C_{ijkl} ; 2 個の弹性常数を類似したテンソルで表示される。 α_{ij} により流体変位をあらわすものとすれば、Darcy の法則の一観的形は、

$$v_i = T_i - u_i = -k_{ij} (P_j + p_j F_j) \quad (4)$$

ここに、 v_i ; 流体速度成分、 k_{ij} ; 透水テンソル、 P_j ; 流体の質量密度で表示される。

単位時間内の単位体積当たりの流入速度 v_i は空隙の体積変化と固体の変形の項よりなる。多孔質固体の中に入れる流体の量を γ で表わし、一方この体積は一定に保たれるものとすると流入速度は次のように表示される。

$$-v_{i,i} = \gamma_t + \alpha_{ij} \dot{e}_{ij} \quad (5)$$

ここで、 γ_t は時間に関しての微小をあらわす。

3. 变分方程式 热弹性テンソル β_{ij} と γ ; 温度变化 θ と P 、固体の単位体積当たりの比熱 c と γ を置き換えることにより、温度変化の小さい場合に対する連成热弹性の場の方程式をたやすく得ることができる。それゆえ、前節の場の方程式に相当する不飽和多孔質弹性固体のための变分方程式は热弹性に対する類似的な解法により導かれる。^{6,10} 二つの不要量 γ と θ を導入し、不要量 γ は体積成分为 γ 。

$$\gamma = \int (W + \frac{1}{2} P^2) dT \quad (6), \text{ ここに } W = \frac{1}{2} C_{ijkl} e_{ij} e_{kl} \quad (7)$$

とあらわされ、弹性圧密ポテンシャルと呼ぶことができる。 T_i により流入体積の成分为あらわすと、

$$\dot{v}_i = v_i \quad \dots \dots \dots \quad (8) ; \quad -\nabla_{i,i} = P/Q + \alpha_{ii} e_{ii} \quad \dots \dots \dots \quad (9)$$

と表示される。内蔵正圧はこのとき、二つのベクトル場の差で

$$P = -Q \{ \nabla_{i,i} + \frac{1}{2} \alpha_{ii} (u_{ii} + u_{j,j}) \} \quad \dots \dots \dots \quad (10)$$

のようにあらわされる。不変量 λ の変分は次のように表示される。

$$\delta \lambda = \int \lambda_{ij} \dot{v}_i \delta v_i dV \quad \dots \dots \dots \quad (11)$$

ここに、 λ_{ij} 流れの抵抗テンソル。抵抗テンソル P_{ij} の逆であり、不変量 λ は散逸度量の係数とする。弹性正規ポテンシャル、流入体積、流束はおのおの熱弹性論における弹性正規ポテンシャル、エントロピー-変位、熱流に相当するので圧密問題に対する変分方程式は次のように表示される。

$$\delta Y + \delta \lambda = \int P_i F_i S_{ii} dV - \int P_j F_j \delta v_j dV + \int (F_i S_{ii} - P_i \delta v_i) ds \quad \dots \dots \dots \quad (12)$$

ここで δs は境界表面の変分であり、 F_i は表面力、 P_i は境界外側より作用する内蔵正圧、 v_i は外側に向う単位法線の方向余弦成分である。

4. 有限要素法への定式化 素末内で内蔵正圧が空隙の一次変数により表示されるものとすれば F_i (9) より次の内こう筋度や固体の変位と流入体積に対して用いられ、固体の変位と流入体積はおのおの節点値の和で定義される。 $\{u\} = [N]\{u^e\}$ $\dots \dots \dots \quad (13)$; $\{v\} = [N]\{v^e\}$ $\dots \dots \dots \quad (14)$

(2) のひずみ-変位関係は次のように表示される。

$$\{e\} = [B]\{u^e\} \quad \dots \dots \dots \quad (15)$$

ここで、 $\{e\}$ はひずみベクトル、 $[B]$ は λ (2) と E (3) により導かれた柔軟マトリックスであり、 λ (3) と E (4) を λ (1) に代入すると素末内の内蔵正圧に対する式を表示を得る。

$$P = -Q (A_i [B]\{v^e\} + \lambda_i [B]\{u^e\}) \quad \dots \dots \dots \quad (16)$$

$$\text{ここで } A_i = [1, 1, 1], \lambda_i = \alpha_{11}, \alpha_{22}, \alpha_{33}, \alpha_{12}, \alpha_{23}, \alpha_{31} \quad \dots \dots \dots \quad (17)$$

$[B]$ はマトリックス $[B]$ からセントラルひずみ成分を取り除くことによりつくられる柔軟マトリックスである。そして、

$$P = Q (A_i [B]\{v^e\} + \lambda_i [B]\{u^e\})^T (A_i [B]\{v^e\} + \lambda_i [B]\{u^e\}) \quad \dots \dots \dots \quad (18)$$

となり、要素に対して λ (2) を適用すると左辺のおのおの項は次のようになる。

$$\begin{aligned} \delta Y &= \int (\delta u^e)^T [B]^T [D] [B] \{u^e\} dV + Q \int (\delta u^e)^T [B]^T [A] \lambda_i [B] \{u^e\} + [B]^T [A] A_i [B] \{v^e\} dV \\ &\quad + Q \int (\delta v^e)^T [B]^T [A] \lambda_i [B] \{u^e\} + [B]^T [A] A_i [B] \{v^e\} dV \end{aligned} \quad \dots \dots \dots \quad (19)$$

$$\delta \lambda = \int (\delta v^e)^T [N]^T [D_T] [N] \{v^e\} dV \quad \dots \dots \dots \quad (20)$$

ここで、 $[D]$ と $[D_T]$ はおのおの要素に対する弹性マトリックスと流れの抵抗マトリックスである。 F_i (2) の液体力と揚押力の仮想仕事は、

$$\int P_i F_i S_{ii} dV = \int (\delta u^e)^T [N]^T [P_i]^e dV \quad \dots \dots \dots \quad (21); \quad \int P_j F_j \delta v_j dV = \int (\delta u^e)^T [N]^T [P_j]^e dV \quad \dots \dots \dots \quad (22)$$

$$\int F_i S_{ii} ds = (\delta u^e)^T [F]^e \quad \dots \dots \dots \quad (23); \quad \int P_j \delta v_j ds = (\delta v^e)^T [H] [P_j]^e = (\delta v^e)^T [G]^e \quad \dots \dots \dots \quad (24)$$

と表わされ、 $\{F\}$ は固体力 F_i の列ベクトル、 $\{F\}^e$ は等価筋度荷重列ベクトル。 $[H]$ は境界外側に沿う内蔵正圧と流入体積の内こう筋度の積として積みより導かれるマトリックス。 $\{G\}$ は筋度における内蔵水正の列ベクトルである。変分 δu^e と δv^e は任意であるので F_i (9) から F_j (4) まで λ (2) に代入すると次なる方程式を得る。

$$\left. \begin{aligned} [F]^e &= ([K] + [L_0]) \{u^e\} + [L_1] \{v^e\} + [F_1]^e \\ -[G]^e &= [L_2] \{u^e\} + [L_3] \{v^e\} + [M] \{v^e\} - [F_2]^e \end{aligned} \right\} \quad \dots \dots \dots \quad (25)$$

$$\left. \begin{aligned} [K] &= [B]^T [D] [B] dV, \quad [L_0] = Q [B]^T [A] \lambda_i [B] dV, \quad [L_1] = Q [B]^T [A] A_i [B] dV \\ [L_2] &= Q [B]^T [A] \lambda_i [B] dV, \quad [L_3] = Q [B]^T [A] A_i [B] dV, \quad [M] = \int [N]^T [D_T] [N] dV \end{aligned} \right\} \quad \dots \dots \dots \quad (26)$$

$$[F_1]^e = \int [N]^T [P_1]^e dV, \quad [F_2]^e = \int [N]^T [P_2]^e dV$$

λ (2) の第一式は平衡方程式をあらわし、第二式は流れの方程式を意味し、これらは任意の時間に対しても適用できる。ここで λ が任意の時間増分 Δt の間に時間に対しても非弾性的に変化するものとすれば、 $\{v^e\}$ は次のように表示

$$\{V\}_{n+k}^e = \frac{\partial}{\partial t} \{V\}_{n+k}^e - (\frac{\partial}{\partial t} \{V\}_{k-t-n}^e + \{V\}_{k-t-n}) = \frac{\partial}{\partial t} \{V\}_{n+k}^e - \{G_T\}_{n+k-t}^e \quad \dots \dots \dots \quad (27)$$

Eq(25)に前述の表示を代入すると、

$$\begin{Bmatrix} F \\ -G \end{Bmatrix}_k + \begin{Bmatrix} F \\ G_T \end{Bmatrix}_{k-t} + \begin{Bmatrix} 0 \\ G_T \end{Bmatrix}_{k-t} = \begin{bmatrix} K_{11} & K_{12} \\ K_{21} & K_{22} \end{bmatrix} \begin{Bmatrix} U \\ V \end{Bmatrix}_k \quad \dots \dots \dots \quad (28)$$

$$\text{ここで } [K_{11}] = [K] + [L_0]; [K_{12}] = [L_1]; [K_{21}] = [L_2]; [K_{22}] = [L_3] + \frac{2}{\Delta t} [M]; \{G_T\} = [M] \{G_T\}^e \quad \dots \dots \dots \quad (29)$$

なる。すなわち、完全等方性体の場合、Eq(29)は次のようになる。

$$[K_{11}] = [K] + \alpha^2 [L]; [K_{12}] = [K_{21}] = \alpha [L]; [K_{22}] = [L] + \frac{2}{\Delta t} [M]; [L] = Q \int [B]^T A [A, [B]] dV; [M] = \frac{1}{\Delta t} \int [N]^T [N] dV \quad (30)$$

するが詳しくは文献(1)に記されている。全領域にわたってEq(28)を直ちに合せると全体系の系についての剛性方程式が得られる。Eq(28)は反復形式であるのでstep-by-stepの手法により解かれる。

5. 複数例。Fig.1には、土柱の上面からのみ拘束の流れを許すよう同一軸圧縮試験のように一次圧密初期に対する解析的手法(=FEM)とBiotの解析解と比較されている。参考のために飽和土に対するBiotの解の圧密せん断も示されている。 $\alpha = 0.98$ の不飽和土は拳動に従って飽和土とほとんど相似している。図における時間、最終圧縮率についての実験的誤差は文献(1)によればある。この問題に関しては、一次と二次の内うち内数による有限要素法の解の相違は認められない。Fig.2には α の値の影響範囲に示されたるが、E, ν , 土の最終圧縮に対する時間圧縮率の比は一定としている。図は α の値が小さいほど低下が早くおこることを示している。Fig.3は $\alpha = 0.98$ における質量曲線である。

6. 結論。ここに示された有限要素法による圧密変形解析の特徴は一般的な弾塑性不飽和土に対して適用可能である。あわせてこれを複数例は一次元問題に限定されていながら手計算の有効性は確認された。

(参考文献)

- 1) Biot, M.A., "General Theory of Three-Dimensional Consolidation," J. Appl. Vol. 12, No. 2, 1941; 2) Biot, M.A., "Consolidation Settlement under a Rectangular Load Distribution," J. Appl. Phys. Vol. 12, No. 10, 1941; 3) Biot, M.A., "Theory of Elasticity and Consolidation for a Porous Anisotropic Solid," J. Appl. Phys. Vol. 26, No. 3, 1955; 4) Biot, M.A., "General Solution of the Equations of Elasticity and Consolidation for a Porous Material," J. Appl. Mech. Vol. 23, No. 3, 1956; 5) Biot, M.A., "Theory of Deformation of a Porous Viscoelastic Anisotropic Solid," J. Appl. Phys. Vol. 27, No. 5, 1956; 6) Biot, M.A., "Thermelasticity and Irreversible Thermodynamics," J. Appl. Phys. Vol. 27, No. 3, 1956; 7) Sander, R.S., and Wilson, E.L., "Finite-Element Analysis of See page in Elastic Media," Proc. ASCE, J. Engr. Mech. Div. Vol. 95, No. EM3, 1969; 8) Yokoo, Y., Yamagata, K., and Nagaoaka, H., "Finite Element Analysis of Consolidation Following Undrained Deformation," Soils and Foundations, Vol. 11, No. 4, Dec. 1971; 9) 本郷治, "粘弹性圧密に対する有限要素解析," 第27回国土工学講演会集, 第3部, Vol. 3, No. 13, 1972, 土木学会; 10) Fung, Y.C., "固体の力学/理論," (邦訳), chap. 14, 増刊館, 1970; 11) Shobe, M., Akaghi, T., and Itoh, H., "Finite Element Analysis of Consolidation of Unsaturated Soil," Proc. Int. Symp. F.E.M. in Flow Problems, 1974.

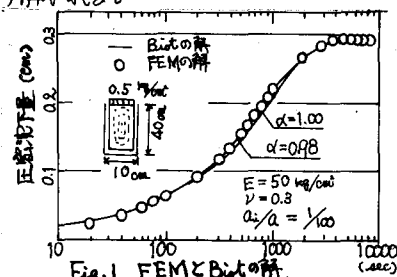


Fig. 1 FEMとBiotの解

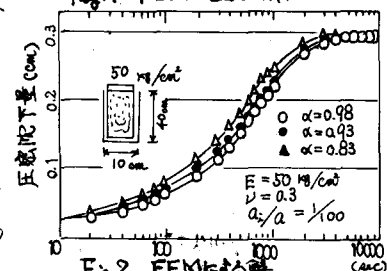


Fig. 2 FEMによる解

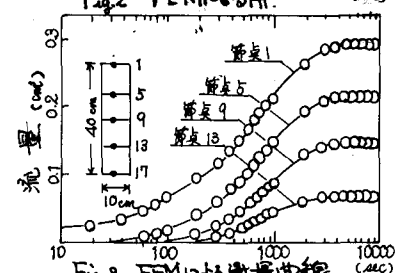


Fig. 3 FEMによる質量曲線